

**О ДИСКРЕТНОМ ХАРАКТЕРЕ ИЗМЕНЕНИЯ СТРУКТУРЫ  
ВОЛНЫ ГАЗОВОЙ ДЕТОНАЦИИ**

**Ю. Н. Денисов, Я. К. Трошин**  
(Москва)

Одной из особенностей пульсирующей детонации является показанная в [1,2] дискретность зависимости от начального давления  $p_0$  шага пульсаций  $\Delta x$  вдоль образующей трубы, их частоты  $\omega$  и других параметров, характеризующих структуру детонационной волны.

С целью выяснения закономерностей, которым подчиняется такая дискретность, исследовалась детонация в смеси  $2\text{H}_2 + \text{O}_2$ . Детонация возбуждалась в латунной трубе с внутренним диаметром  $d = 16$  мм и длиной 4 м. В начальном участке этой трубы на длине около 1.5 м устанавливалась проволочная спираль для ускорения перехода горения в детонацию [3]. На остальном участке трубы гладкой трубы не было изменения ее поперечного сечения. К другому концу трубы пристыковывалась на вакуумном уплотнении сменная стеклянная трубка длиной 1 м со строго калиброванным внутренним диаметром  $16 \pm 0.2$  мм. Регистрация результатов экспериментов производилась фоторазверткой повышенной разрешающей способности при помощи ЖФР-1 [4] и следовым методом [1].

Особое внимание обращалось на обеспечение постоянных условий при варьировании лишь одного параметра  $p_0$ . С этой же целью производилось тщательное составление смеси по объемному соотношению компонентов. Для возбуждения детонации использовался только пережог проволочки, вызывающей горение смеси, и последующий переход в самоподдерживающуюся детонацию.

Начальное давление смеси  $p_0$ , измерявшееся ртутным манометром, в интервале от 100 до 300 мм рт. ст. изменялось через 10 мм рт. ст., а в интервале 300—900 мм рт. ст.— через 100—200 мм. рт. ст. При каждом значении  $p_0$  производилось 20—10 опытов. Результаты усреднялись для равных  $n$ . Число  $n$ , принимающее значения 1, 2, 3...,

Таблица 1

$n$	$p_0$ мм рт. ст.	$D$ , м/сек	$\Delta x$ , мм	$\omega$ , кгц
1	$137 \pm 5$	$2333 \pm 74$	$50 \pm 1.7$	$46 \pm 2$
2	$136 \pm 6$	$2320 \pm 174$	$32 \pm 2$	$72 \pm 6$
3	$137 \pm 6$	$2375 \pm 89$	$21 \pm 2$	$112 \pm 5$
4	$150 \pm 9$	$2438 \pm 50$	$16 \pm 1$	$154 \pm 9$
5	$165 \pm 7$	$2484 \pm 50$	$13.6 \pm 0.8$	$186 \pm 10$
6	$174 \pm 8$	$2507 \pm 86$	$11.8 \pm 0.4$	$213 \pm 9$
7	$194 \pm 6$	$2540 \pm 52$	$10.1 \pm 0.3$	$252 \pm 10$
8	$203 \pm 8$	$2563 \pm 90$	$9.1 \pm 0.5$	$282 \pm 16$
9	$220 \pm 6$	$2572 \pm 60$	$8.1 \pm 0.3$	$320 \pm 13$
10	$227 \pm 10$	$2649 \pm 51$	$7.4 \pm 0.2$	$353 \pm 15$
11	$242 \pm 9$	$2680 \pm 36$	$6.8 \pm 0.2$	$390 \pm 16$
12	$254 \pm 10$	$2674 \pm 33$	$6.2 \pm 0.2$	$417 \pm 15$
13	$271 \pm 7$	$2678 \pm 52$	$5.6 \pm 0.1$	$461 \pm 12$
14	$288 \pm 8$	$2730 \pm 40$	$5.2 \pm 0.1$	$512 \pm 14$
15	300	$2736 \pm 46$	$4.75 \pm 0.05$	$556 \pm 12$

удобно называть «порядком» детонационной волны [1,5,6]. Так как первый порядок имеют как спиновая, так и пульсирующая детонация с  $n = 1$ , то в отличие от пульсирующей введем для спиновой детонации обозначение  $n' = 1$ . По определенным из ряда измерений средним величинам  $\langle n \rangle$ ,  $\langle \Delta x \rangle$  и скорости детонации  $\langle D \rangle$  вычислялись

$$\langle \omega \rangle = \langle D \rangle / \langle \Delta x \rangle$$

$$\langle \operatorname{tg} \alpha \rangle = \pi d / \langle n \rangle \langle \Delta x \rangle \quad (1)$$

Здесь  $\alpha$  — угол наклона линии следа излома к образующей трубы.

Экспериментальные значения ряда параметров детонации в стехиометрической водородо-кислородной смеси даны в табл. 1 для интервала начальных давлений 130—300 мм рт. ст., в котором наиболее отчетливо проявляется дискретный характер изменения структуры волны газовой детонации. Было установлено, что при  $p_0 = 100$  мм рт. ст. из десяти экспериментов не наблюдалось ни одного случая детонации — происходило лишь горение. При 110 и 120 мм рт. ст. из двадцати опытов в четырех наблюдалась спиновая детонация с  $n' = 1$ , в то время как в остальных случаях — горение. Минимальным давлением для возникновения самоподдерживающейся пульсирующей детонации с  $n = 1$  оказалось  $p_0^* = 130$  мм рт. ст. Эта величина была принята за нормирующую для шкалы измеряемых начальных давлений, а по шкале шага пульсаций откладывались величины  $\langle d \rangle / \langle \Delta x \rangle$  с учетом того, что для детонации смеси  $2\text{H}_2 + \text{O}_2$  с  $n = 1$  шаг пульсаций  $\langle \Delta x \rangle \approx \langle d \rangle$ .

Обработка полученной в таких координатах совокупности экспериментальных точек методом выравнивания [7] позволяет получить формулу

$$\frac{\langle d \rangle}{\langle \Delta x \rangle} = \left[ \left( \frac{\langle p_0 \rangle}{p_0^*} - c \right) a \right]^r \quad (2)$$

Результаты экспериментов приведены на фиг. 1, на которой точки 1 — соответствуют экспериментам данной работы, точки 2 — результатам работ [8,9], точки 3 —

приведенным для сравнения экспериментам из работы [10]. Экспериментальные точки с некоторыми отклонениями от средних величин  $\langle p_0 \rangle$  и  $\langle \Delta x \rangle$  соответствуют определенным числам  $n$ , причем в направлении оси  $\xi = \lg \left( \frac{\langle p_0 \rangle}{p_0^*} - c \right)$  имеет место слияние экспериментальных данных, так как с разной вероятностью при одном и том же  $p_0$  в разных опытах происходит детонация с различными  $n$ . В то же время по оси  $\eta = \lg (\pi d / \langle \Delta x \rangle)$  наблюдается четкая дискретность результатов вплоть до сравнительно больших  $n$ . Определенные методом наименьших квадратов наиболее вероятные значения постоянных в уравнении (2) оказались равными  $r = 0.663$ ,  $a = 25.7$  при  $c = -0.978$ . Формула (2) для детонации смеси  $2\text{H}_2 + \text{O}_2$  записывается в окончательном виде

$$\frac{\pi d}{\Delta x} = \left[ \left( \frac{p_0}{130} - 0.978 \right) \cdot 25.7 \right]^{0.663} \quad (3)$$

где размерность  $d$  и  $\Delta x$  — в мм, а  $p_0$  — в мм рт. ст.

Так же как и подобные формулы в работах [6, 10], уточненная формула (3) не выражает дискретного характера изменения  $\Delta x$  в зависимости от  $n$ . Однако на основе тех же экспериментальных данных табл. 1, анализируя последовательность разностей величин  $\langle \Delta x \rangle$  для соседних  $n$ , можно получить формулу для спектра дискретности величины  $\Delta x$  в виде

$$\frac{\pi d}{\Delta x} = \frac{1}{n} + \zeta \left( 1 + \frac{1}{n} \right) (n - 1) \quad (4)$$

где  $\zeta$  — постоянная величина, определяемая из решений нормальных уравнений типа (4) с подстановкой числовых данных из табл. 1. При этом получаем  $\zeta = 0.7$ . Для достаточно больших  $n$  формула (4) сводится к

$$\pi d / \Delta x = \zeta n \quad (5)$$

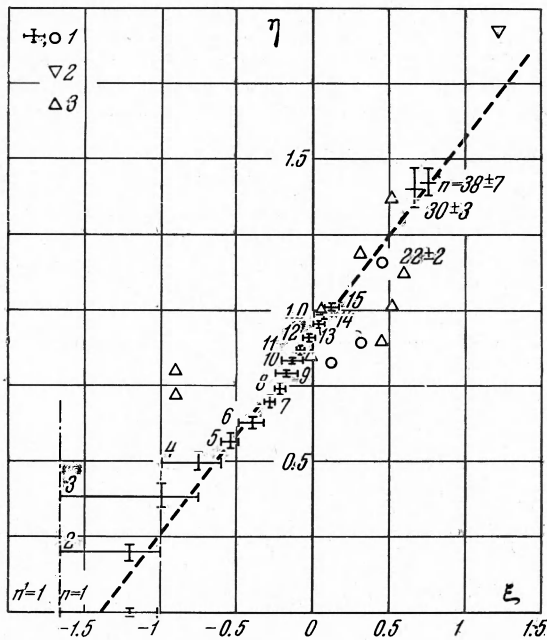
Формула (3) удобна для вычисления шага  $\Delta x$  пульсирующей детонационной волны и может быть использована для экстраполяции в область больших  $p_0$ , где невозможно экспериментальное определение  $\Delta x$  и  $n$ . Так, в табл. 2 даны результаты вычислений по

Таблица 2

	$p_0$ , атм	$D$ , м/сек	$\Delta x$ , мм	$M_1 = \frac{D}{c_0}$	$(3)$ $\Delta x$ , мм	$(5)$ $n$	$(1)$ $\omega$ , Мег	$(6)$ $\tau$ , милсек	$(7)$ $T_1$ , °К
[8,9]	3	2850	0.6	5.55	0.9	120	4.75	0.275	2010
[11]	420	3500	—	6.8	0.034	2120	100	0.013	2880
	500	3600	—	7.0	0.030	2400	120	0.011	3030
	760	4250	—	8.27	0.023	3130	185	0.007	4115
	800	4440	—	8.65	0.022	3270	200	0.0065	4280

формулам (1), (3), (5) и (6) параметров детонационных волн, полученных Я. К. Трошиным, К. И. Щелкиным [8,9] и А. Шмидтом [11] в смеси  $2\text{H}_2 + \text{O}_2$  при  $p_0 = 3$ , 420, 500, 760 и 800 атм. С использованием вычисленных по формуле (3)  $\Delta x$  для этих величин  $p_0$ , по формуле (5) рассчитаны соответствующие  $n$ . По этим данным с использованием полученной в [9] формулы

$$\tau = \frac{\Delta x (\gamma + 1) (1 - \sqrt{(\gamma - 1) / 2\gamma}) \operatorname{tg} \alpha}{2D (\gamma - 1)} \quad (6)$$



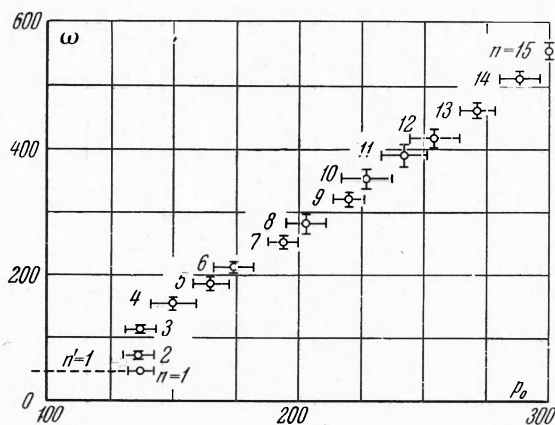
Фиг. 1. График дискретной зависимости шага пульсаций в волне детонации от начального давления смеси  $2\text{H}_2 + \text{O}_2$  в трубе с внутренним диаметром 16 мм

и измеренных в [11] величин скорости детонации  $D$  легко определить эффективные периоды индукции воспламенения  $\tau$  при температурах  $T_1$ , оцениваемых по формуле

$$T_1 = T_0 \left[ \frac{4\gamma - (\gamma - 1)^2}{(\gamma + 1)^2} - \frac{2(\gamma - 1)}{(\gamma + 1)^2 M_1^2} + \frac{2\gamma(\gamma - 1)}{(\gamma + 1)^2} M_1^2 \right] \quad \left( M_1 = \frac{D}{c_0} \right) \quad (7)$$

Здесь  $M_1$  — число Маха,  $T_0$  — начальная температура взрывчатой смеси,  $\gamma$  — показатель политропы. При этом получаются величины периода индукции менее  $10^{-8}$  сек, приближающиеся к предельному времени химических реакций, определяемому временем возбуждения колебательных степеней свободы в молекулах.

Сравнивая вторую формулу (1) и формулу (5), видим, что  $\zeta$  — коэффициент, который имеет простой физический смысл, — это величина  $(\tan \alpha)_{\min}$ . Действительно, в



Фиг. 2. Спектр детонационных частот  $\omega (p_0)$

щиеся вместе с ней к околопредельной области распространения детонационных волн.

Полученные результаты подтверждают, что изменения структуры детонационной волны при изменении начальных условий носят дискретный характер. Это, наряду с полученными данными об упорядоченности такой структуры, может служить еще одним из доказательств пульсирующего механизма распространения детонационной волны в газах. Полученные эмпирические соотношения позволяют производить экстраполяционные оценки эффективного периода индукции воспламенения при высоких температурах.

Поступила 13 V 1966

#### ЛИТЕРАТУРА

- Денисов Ю. Н., Трошин Я. К. Пульсирующая и спиновая детонация газовых смесей в трубах. Доклады АН СССР, 1958, т. 125, № 1.
- Денисов Ю. Н. Исследование механизма газовой детонации в трубах. Диссертация. Институт химической физики АН СССР, Москва, 1966.
- Щелкин К. И. Возникновение детонации в газах в шероховатых трубах. Ж. техн. физ., 1947, т. 17, вып. 5.
- Дубовик А. С., Чурбаков А. И. Высокоскоростной фоторегистратор непрерывного действия ЖФР. Оптико-механическая промышленность, 1959, № 1.
- Денисов Ю. Н., Трошин Я. К. Механизм детонационного сгорания. ПМТФ, 1960, № 1.
- Денисов Ю. Н., Трошин Я. К. Структура газовой детонации в трубах. Ж. техн. физ., 1960, т. 30, № 4.
- Бродский А. Д., Кан В. Л. Краткий справочник по математической обработке результатов измерений. Госстатиздат, 1960.
- Schelkin K. I., Troshin Ya. K., Non-Stationary Phenomena in the Gaseous Detonation Front. Comb. and Flame, 1963, vol. 7, No. 2.
- Щелкин К. И., Трошин Я. К. Газодинамика горения. Изд-во АН СССР, 1963.
- Войцеховский Б. В., Митрофанов В. В., Топчиян М. Е. Структура фронта детонации в газах, Изд. СО АН СССР, 1963.
- Schmidt A. Über den Nachweis der Gültigkeit der hydrodynamisch-thermodynamischen Theorie der Detonation für feste und flüssige Sprengstoffe. Z. Phys. Chem., A, 1941, B. 189.